

ОСОБЕННОСТИ РАСЧЕТА СИЛОВОГО ДРОССЕЛЯ ДЛЯ ИМПУЛЬСНЫХ ПРЕОБРАЗОВАТЕЛЕЙ ПОСТОЯННОГО НАПРЯЖЕНИЯ

Ковалев Е.Б., Шавелкин А. А., Мирошник Д. Н.

Донецкий национальный технический университет

sha@dgtu.donetsk.ua

In work is presented the design procedure of power losses of the power choke, which is a part DC-DC converter. The given technique considers changes of losses in steel and losses in copper at work of a magnetic element on the raised non-standard frequency (up to 10 kHz). Besides in work is described the technique of designing of the choke, made from a condition of reception a minimum of losses.

В последнее время импульсные преобразователи постоянного напряжения находят широкое применение в электроприводах постоянного тока и, как промежуточные преобразователи – в электроприводах переменного тока. Эффективность применения подобных преобразователей во многом зависит от характеристик дросселя, который входит в состав преобразователя. Это в первую очередь касается габаритов и КПД. При этом существует ряд особенностей, которые необходимо учитывать. Это и сравнительно высокая рабочая частота (обычно до 10 кГц), и большие токи - до нескольких сотен ампер.

Обзор существующих решений. В настоящее время наиболее полно изученными считаются вопросы проектирования дросселей малой мощности (до нескольких киловольт-ампер) [1, 2], работающих на высоких частотах, однако продолжающиеся исследования показывают [3], что даже в этом диапазоне мощностей приходится корректировать результаты и положения не вызывавшие ранее сомнений.

Цель работы: разработать методику расчета и проектирования силовых дросселей постоянного тока, работающих на частотах 1-10 кГц исходя из минимума потерь энергии в нем.

Дроссель работает на постоянном токе, причем ток пульсирует с достаточно высокой частотой – несколько кГц. Наличие пульсаций тока обуславливает значительные потери энергии в дросселе, которые включают в себя:

- потери в сердечнике (магнитопроводе): потери на гистерезис, вызванные циклическим перемагничиванием и потери на вихревые токи;
- потери в обмотке: потери в меди на постоянном токе и потери в меди на переменном токе (потери, вызванные поверхностным эффектом или эффектом вытеснения тока, и потери, вызванные эффектом близости).

Потери в стали на перемагничивание определяются по формуле [3]:

$$P_{cm(euc)} = f_k S_m l_m \int_0^{T_k} H dB, \quad (1)$$

где $f_k = 1/T_k$ – частота коммутации импульсного преобразователя; S_m , l_m – геометрические размеры магнитопровода: площадь поперечного сечения и средняя длина; $\int_0^{T_k} H dB$ – площадь используемой части петли гистерезиса (рис.1).

Формула (1) описывается более простым выражением [1]:

$$P_{cm(euc)} = K_H f_k B_{max}^\alpha, \quad (2)$$

где K_H , α – эмпирические коэффициенты определяются экспериментально ($\alpha=2$ [4]), при этом α – выбирается с допущением синусоидального распределения магнитной индукции; B_{max} – максимальное значение магнитной индукции в сердечнике.

Потери на вихревые токи определяются в соответствии с уравнением Чарльза Штейнмеца [3]:

$$P_{cm(vix)} = K_e f^2 k B_{max}^2. \quad (3)$$

В то же время, общие потери в стали определяются в соответствии с [5, 6, 7]:

$$P_{cm(nacn)} = P_{cm(yu)m}, \quad (4)$$

где $P_{cm(yu)}$ – удельные потери в стали (зависят от материала, из которого собран сердечник); $m = K_{cm} V \gamma_{cm}$ – масса сердечника; V – объем магнитопровода после прессовки; γ_{cm} – плотность стали.

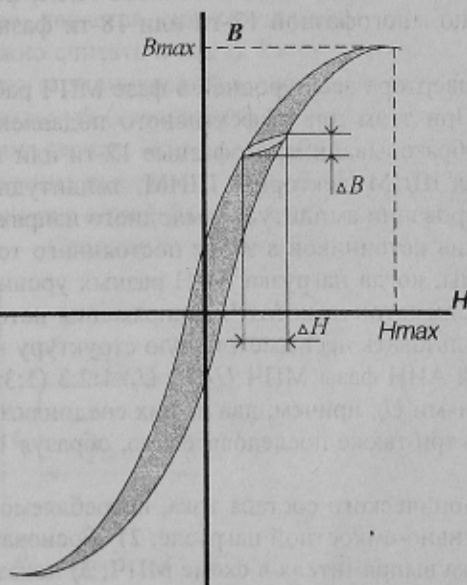


Рисунок 1 - Общая и частная петли гистерезиса

$K_{cm}=0.85-1$ – коэффициент заполнения сталью (зависит от толщины листа стали); V – объем магнитопровода после прессовки; γ_{cm} – плотность стали.

Из (4) видно, что паспортные потери в стали однозначно зависят от материала, его толщины, и, собственно, объема магнитопровода.

Для определения потерь в дросселе, работающего с подмагничиванием на высокой частоте, достаточно оценить потери от протекания тока высокой частоты через него. С этой целью введем величины относительно изменение вихревых потерь ξ_{vix} и потерь на гистерезис ξ_{euc} в магнитном устройстве, используя выражения (2,3):

$$\xi_{vix} = \frac{f_{nacn}^2 B_{\max(nacn)}^2}{f_k^2 (\Delta B/2)^2}, \quad (5)$$

$$\xi_{euc} = \frac{f_{nacn} B_{\max(nacn)}^2}{f_k (\Delta B/2)^2}, \quad (6)$$

где f_{nacn} – паспортная частота, на которую рассчитана сталь; $B_{\max(nacn)}$ – паспортная максимальная индукция в сердечнике; $f_k = 1/T_k$ – частота коммутации импульсного преобразователя; $\Delta B/2$ – амплитуда изменения магнитной индукции, обусловленная колебаниями напряженности магнитного поля $\Delta H/2$, которые в свою очередь вызваны колебаниями тока дросселя $\Delta I/2$ (рис.1).

Из выражений (5), (6) общие потери в стали дросселя определяются косвенным путем, используя паспортные и текущие значения индукций и частот, при которых данный магнитный элемент работает:

$$P_{cm} = \frac{P_{vix(nacn)}}{\xi_{vix}} + \frac{P_{euc(nacn)}}{\xi_{euc}} \rightarrow \frac{P_{cm(nacn)}}{\xi_{vix}}. \quad (7)$$

Ввиду того, что величина $\xi_{euc} \gg \xi_{vix}$, потери в стали дросселя окажутся не больше значения $P_{st(nacn)}/\xi_{vix}$, (7) и уменьшение потерь можно достичь при выборе стального сердечника с маленькими удельными потерями (толщина стали менее 0.2 мм), с индукцией насыщения $B_{\max} \geq 1.5$. Дальнейшее уменьшение потерь в стали сердечника дросселя возможно при условии уменьшения объема магнитопровода.

Таким образом, индуктивность импульсного преобразователя выбирают исходя из соображений увеличения ξ_{vix} , когда, либо при заданной f_k достаточно мала $\Delta B/2$, либо при заданных $\Delta B/2$ достаточно мала f_k , в зависимости от алгоритма управления импульсным преобразователем [8]. Последнее обстоятельство возможно при увеличении индуктивности дросселя, что неизбежно приводит к увеличению его габаритов. Следовательно, необходимо определить методику расчета геометрических параметров дросселя с целью уменьшения его размеров и, соответственно, потерь мощности.

Основные геометрические параметры дросселя определяются из двух условий: для сердечника и для катушки [4]:

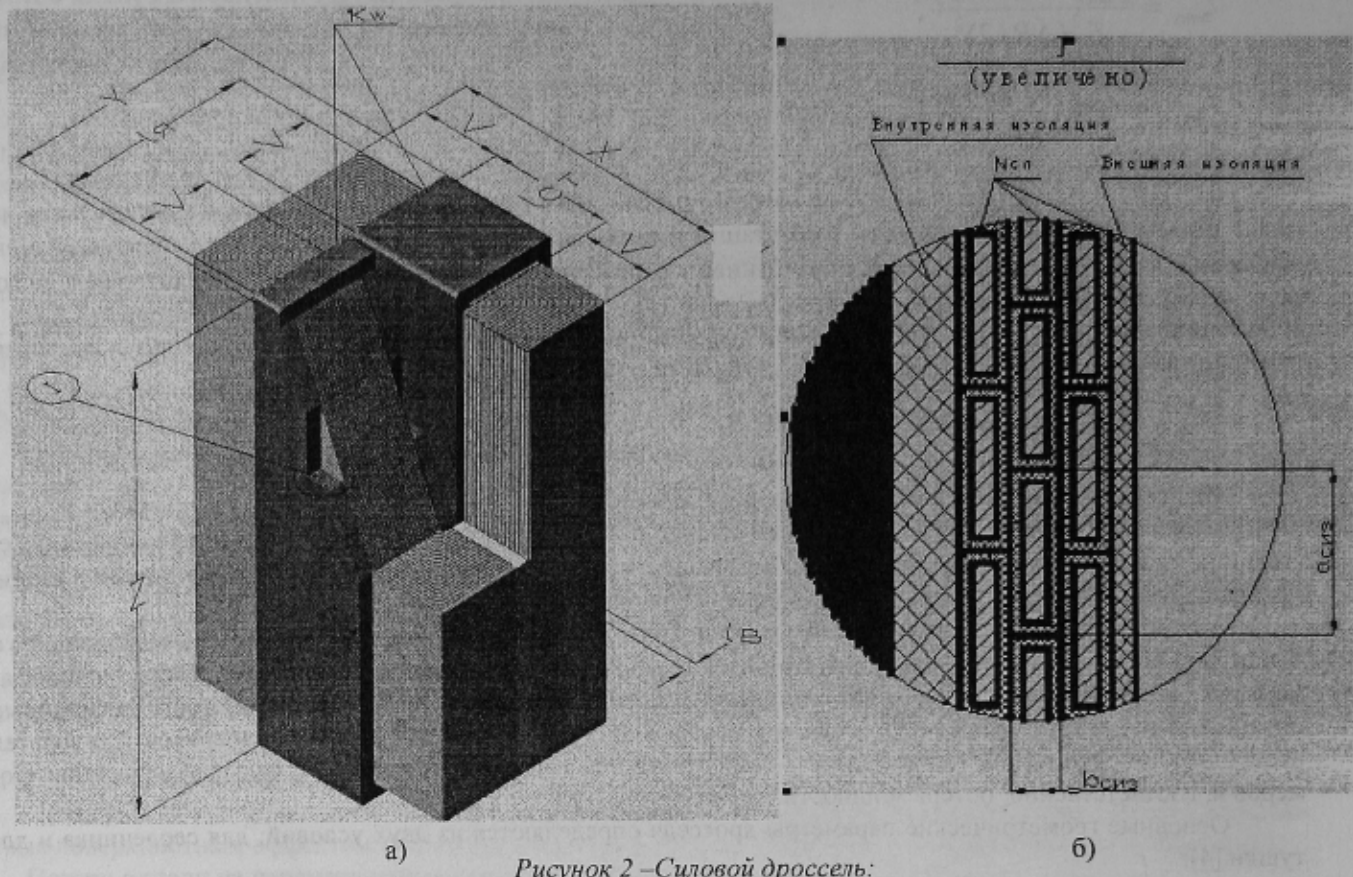
$$\Psi_{\max} = WB_{\max} S_m K_{cm} \cdot \frac{I_{\max}}{j} = \frac{S_{ok} K_{ok}}{W}, \quad (8)$$

где S_{ok} – площадь окна сердечника; $K_{ok}=0.15-0.5$ – коэффициент заполнения катушкой окна сердечника [4]; W – количество витков обмотки дросселя; I_{\max} – максимальное значение тока дросселя; j – плотность тока [9]; Ψ_{\max} – амплитуда потокосцепления;

Из (8) видно, что S_{ok} , S_m зависят от числа витков катушки W , что требует рационального определения последней величины, в частности как зависит V от W . С целью определения объема сердечника, выражения (8) дополняются уравнениями, которые характеризуют его с точки зрения геометрии и сточки зрения физических процессов, протекающих в нем (магнитопровод неразветвленный однородный):

$$\left\{ \begin{array}{l} S_m = \frac{I_{\max} L}{B_{\max} W K_{cm}} \\ l_{cm} = \frac{W a_{cuz} K_{30}}{K_w N_{cuz}} \\ S_{ok} = \frac{b_{cuz} a_{cuz} W K_{20}^2}{K_{ok}} \\ l_s = \frac{\mu_0 I_{\max} W}{B_{\max}} \\ v = \sqrt{\frac{S_m}{K_h K_{cm}}} \\ z = K_h v K_{cm} \\ l_R = \frac{S_{ok}}{l_{cm}} + 2v \end{array} \right. \quad (9)$$

где L – заданное значение индуктивности дросселя; b_{cm3} , a_{cm3} – соответственно меньший и больший геометрические размеры сечения обмоточного провода с учетом изоляции (выбирается, используя плотность тока [9]); K_{30} – коэффициент заполнения обмоткой обмоточного пространства вдоль стержня и ярма; $0 < K_w \leq 2$ – число катушек дросселя; N_{ct} – число слоев, намотанных на каждую катушку; l_e – длина воздушного (немагнитного) зазора, определяется из условия пренебрежения магнитным сопротивлением сердечника; l_r , l_{cm} – длина соответственно ярма и стержня магнитной части дросселя (определяется без учета l_e); v , z – соответственно толщина и высота сердечника (рис.2); K_h – соотношение между толщиной и высотой сердечника.



Из выражений (9) определяется объем сердечника, величина которого непосредственно влияет на значение потерь в стали (4):

$$V = \frac{2I_{max}L}{B_{max}WK_{cm}} \left[\frac{Wa_{cm3}K_{30}}{K_wN_{ct}} + \frac{2}{K_{cm}} \sqrt{\frac{2I_{max}L}{B_{max}WK_h}} + \frac{K_wN_{ct}b_{cm3}}{K_{ok}} \right] \quad (10)$$

Как показано на рис.3 уменьшение объема, массы и потерь в стали возможно за счет увеличения количества витков W и увеличения коэффициента соотношения между толщиной и высотой сердечника K_h . При этом, количество витков непосредственно влияет на величину немагнитного зазора l_e (9), значение которого не должно искажать свойств магнитной системы.

Рациональный выбор количества витков обмотки дросселя невозможно осуществить без учета потерь в меди дросселя, которые состоят из двух составляющих: потери на постоянном токе и потери на переменном токе. Потери в меди на постоянном токе:

$$P_{m(DC)} = I^2_{DC} R_{DC}, \quad (11)$$

где I_{DC} – постоянная составляющая тока, текущего через дроссель; $R_{DC} = \rho l_{np}/S_{np}$ – сопротивление провода в обмотке дросселя постоянному току; $l_{np} = СДВ * W$ – длина обмоточного провода ($СДВ$ – средняя длина витка).

Потери в меди на переменном токе с учетом эффектов вытеснения тока и близости [3]:

$$P_{m(AC)} = I^2_{AC} R_{DC} \sigma \left[G_1(\sigma) + \frac{2}{3} (N^2_{ct} - 1) (G_1(\sigma) - 2G_2(\sigma)) \right], \quad (12)$$

где $G_1(\sigma) = \frac{\sinh(2\sigma) + \sin(2\sigma)}{\cosh(2\sigma) - \cos(2\sigma)}$, $G_2(\sigma) = \frac{\sinh(\sigma)\cos(\sigma) + \cosh(\sigma)\sin(\sigma)}{\cosh(2\sigma) - \cos(2\sigma)}$ – функции распределения МДС вокруг слоев обмотки дросселя. $\sigma = b/d$ – коэффициент увеличения R_{DC} (b – высота сечения провода обмотки).

ки дросселя без изоляции); I_{AC} – переменная составляющая тока, текущего через дроссель; $\delta = \frac{0.075}{\sqrt{f_k}} [м]$ – глубина поверхностного слоя для меди.

При проектировании дросселя желательно укладывать обмотку в один слой с тем, чтобы исключить эффект близости проводников. Выражение (12) при этом значительно упрощается ($N_{cv}^2 I = 0$), и, соответственно, уменьшаются потери в меди на переменном токе. Для исключения эффекта вытеснения тока обмотку подбирают таким образом, чтобы $b < \delta$ (литцендрат [3], винтовая обмотка [9]). В этом случае увеличения сопротивления обмоточного провода R_{DC} на переменном токе не произойдет. Кроме того, уменьшения потерь в меди можно достичь за счет уменьшения плотности тока и, соответственно, увеличения площади сечения проводника.

На рисунке 4 представлены зависимости, построенные по выражениям (4-7, 9-12), которые показывают, как зависят суммарные потери дросселя $P_{dr\sigma}$ от числа витков W и коэффициента K_h . Из рисунка 4 видно, что при проектировании силового дросселя рационально выбирать W таким образом, чтобы потери попали в зону $P_{dr\sigma} = \min$ (рис. 4).

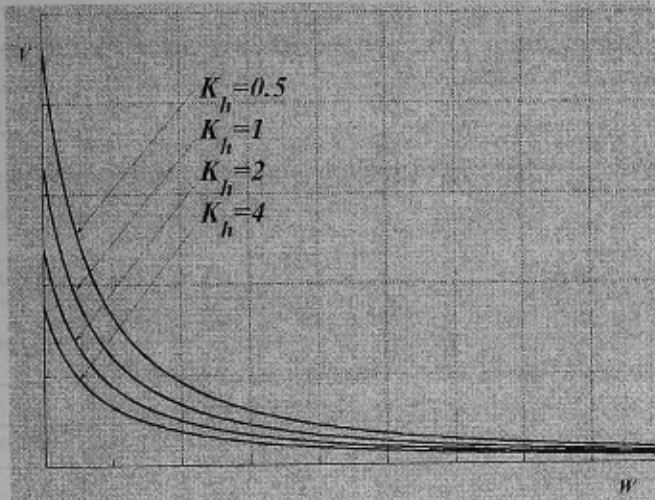


Рисунок 3 – Зависимость объема сердечника V от количества витков W и коэффициента K_h

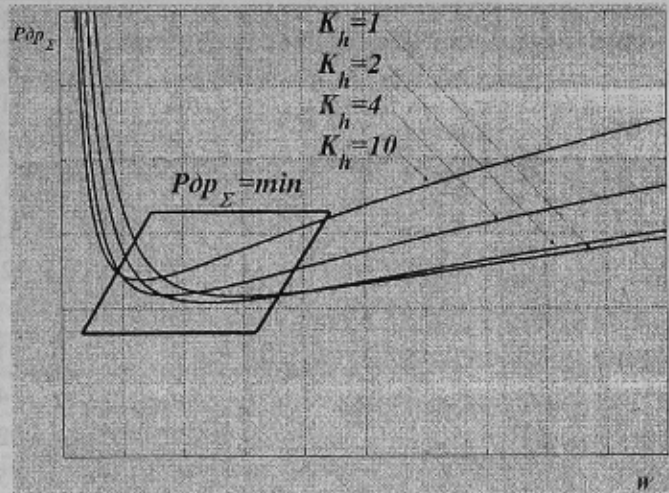


Рисунок 4 – Зависимость суммарных потерь дросселя от W и коэффициента K_h

Проверка спроектированного дросселя осуществляется, используя ограничение по нагреву. Это ограничение заключается в нахождении температуры перегрева изоляции обмотки над температурой окружающей среды, и в сравнении ее значения для конкретного типа изоляции с паспортным. Это условие определяется для установленного температурного режима работы дросселя, и зависит не только от потерь в стали дросселя P_{ct} , но и от его потерь в меди P_m :

$$\tau = \frac{P_{ct}}{\lambda S_{ox\sigma}} + \frac{P_m}{\lambda S_{obm}}, \quad (13)$$

где $S_{ox\sigma} = \frac{8I_{max}L}{B_{max}WK_{cm}K_h}(1+K_h) + \frac{4}{K_{cm}}\sqrt{\frac{I_{max}L}{B_{max}WK_h}}(1+K_h)\left[\frac{Wa_{cuz}K_{30}}{K_wN_{ct}} + \frac{b_{cuz}K_{30}K_wN_{ct}}{K_{ok}}\right]$ – общая пло-

щадь поверхности охлаждения сердечника; λ – коэффициент теплообмена (для изоляции класса А $\lambda = 12$ [4]);

$$S_{obm} = 2\frac{Wa_{cuz}K_{30}}{N_{ct}K_{cm}}\sqrt{\frac{I_{max}L}{B_{max}WK_h}}(1+K_h) \text{ - площадь поверхности охлаждения обмотки.}$$

Согласно выражению (13) температура перегрева изоляции τ не должна превышать заданного паспортного значения τ_{pmax} , в противном случае необходимо увеличивать класс изоляции.

Расчет дросселя производился для асинхронного привода применительно к рудничному электровозу АМ-8 с аккумуляторной батареей на напряжение 130 В при мощности потребляемой двигателем 13 кВт [8]. Результаты проектирования дросселя с параметрами: $I_{max}=220$ А, $I_{nom}=110$ А, $L=2.5$ мГн, $f_k=3200$ Гц, $\Delta I/2=5$ А, $K_{ok}=0.5$, $K_{30}=1.05$ – сведены в таблицу 1.

Число витков W в каждом конкретном случае выбиралось из условия минимизации потерь дросселя и укладывалось во всех случаях в один слой. Параметры обмоточного провода выбирались согласно [9, с.215, с.257], при плотности тока $j=2.8$: $S_{np}=39.2\text{мм}^2$, $a=12.5\text{мм}$, $b=3.55\text{мм}$, $b_{cuz}=13\text{мм}$, $a_{cuz}=4.05\text{мм}$.

Из таблицы видно, что наиболее выгодным материалом для сердечника является стальная электротехническая холоднокатаная анизотропная лента, которая к тому же рассчитана на $f_{max}=400$ Гц. Последнее обстоятельство позволяет спроектировать дроссель с достаточно малыми суммарными потерями в номинальном режиме (≈ 100 Вт), которые к тому же несколько завышены (7). При этом, дроссель с сердечником из электротехнической стали также может быть конкурентоспособен в сравнении со стальной лентой. Несмотря на большие

потери (≥ 200 Вт), дальнейшее их уменьшение возможно за счет укладывания обмотки в несколько слоев. В этом случае длина стержня сердечника будет уменьшаться, а значит, будет уменьшаться объем, масса и потери в стали дросселя. При этом будут увеличиваться потери в меди, что потребует от проектировщика учета потерь вызванных эффектом близости проводников обмотки дросселя.

Таблица 1 – Результаты проектирования силового дросселя, работающего на частоте 3.2 кГц

марка стали	B_{max} , Тл	$P_{cm, \mu}$, Вт/кг	K_h	W	l_{as} , мм	m, кг	x, мм	y, мм	z, мм	P_{cm} , Вт	P_m , Вт	P_{dr} , Вт	$\tau, {}^{\circ}\text{C}$	
сталь анизотр. 3414 $K_{cm}=0.96,$ 0.3ММ, 50Гц $\gamma_{cm}=7650$ Кт/М ³	1.5	19	2	1	27	5	112	184	544	165	71	66	137	40
				2	27	5	76	193	360	165	48	66	114	40
			5	1	19	3.5	116	141	392	311	73	69	141	39
				2	19	3.5	80	150	162	311	50	69	119	39
	1.5	16	2	1	25	4.6	117	191	524	171	62	64	126	38
				2	25	4.6	81	200	353	171	43	64	106	38
			5	1	18	3.3	119	145	381	319	63	67	130	37
				2	18	3.3	83	153	259	319	44	67	111	37
сталь анизотр. 3415 $K_{cm}=0.96,$ 0.3ММ, 50Гц $\gamma_{cm}=7650$ Кт/М ³	1.5	15	2	1	24	4.4	119	195	514	175	59	62	122	38
				2	24	4.4	83	203	350	175	41	62	103	38
			5	1	17	3.1	123	149	372	328	61	65	126	37
				2	17	3.1	87	157	256	328	43	65	108	37
	1.5	1.03	2	1	50	9.2	91	132	806	121	199	89	288	57
				2	50	9.2	54	141	465	121	117	89	206	57
			5	1	36	6.6	92	101	583	226	200	95	295	55
				2	36	6.6	55	109	338	226	120	95	215	55
сталь изотр. 2413 $K_{cm}=0.97,$ 0.35ММ, 50Гц $\gamma_{cm}=7650$ Кт/М ³	1.5	0.97	2	1	49	9	92	133	794	122	188	88	276	56
				2	49	9	54	142	460	122	111	88	200	56
			5	1	35	6.5	93	102	571	229	190	94	284	54
				2	35	6.5	56	110	332	229	114	94	208	54
	1.5	2.5	2	1	79	14.6	84	106	1176	96	444	112	557	83
				2	79	14.6	46	115	637	96	245	112	357	83
			5	1	56	10.3	85	82	834	181	448	119	567	80
				2	56	10.3	47	91	456	181	250	119	369	80
сталь изотр. 2421 $K_{cm}=0.95,$ 0.28ММ, 400Гц $\gamma_{cm}=7650$ Кт/М ³	1.0	19.5	2	1	34	9.4	161	193	649	180	104	90	194	41
				2	34	9.4	106	202	417	180	68	90	158	41
			5	1	24	6.6	165	147	466	339	107	94	201	40
				2	24	6.6	111	156	303	339	71	94	166	40

ЛИТЕРАТУРА

- Балыян Р.Х., Обрускин В.П. Оптимальное проектирование силовых высокочастотных ферромагнитных устройств.- Томск: Издательство Том. ун-та, 1987. -168 с.
 - Балыян Р.Х. Трансформаторы для радиоэлектроники. М.: Советское радио, 1971. - 720 с.
 - Erickson, Robert W., and Dragan Maksimovic. Fundamentals of Power Electronics, 2001. Ch.13@14, pp. 491-562.
 - Руденко В.С., Ромашко В.Я., Морозов В.Г. Перетворювальна техніка. Частина I. – К.:ICDO, 1996.
 - Сталь электротехническая холоднокат. анизотр. тонколистовая, технические условия, ГОСТ 21427.1–83.
 - Сталь электротехническая холоднокат. изотр., технические условия, ГОСТ 21427.2 – 83.
 - Лента стальная электротехническая холоднокат. анизотр., технические условия, ГОСТ 21427.4 – 78.
 - Шавелкин А.А., Мирошник Д.Н. Преобразователь частоты с промежуточным звеном повышенного напряжения при питании от аккумуляторной батареи // Наукові праці ДонНТУ. Серія «Електротехніка та Енергетика», випуск 67, Донецьк: ДонНТУ, 2003. – 204 с.
 - Тихомиров П.М. Расчет трансформаторов: Учеб.пособие для вузов. – 5-е изд., перераб. и доп. – М.: Энергоатомиздат, 1986. – 528 с.
- Рекомендовано проф., д.т.н. Карась С.В.